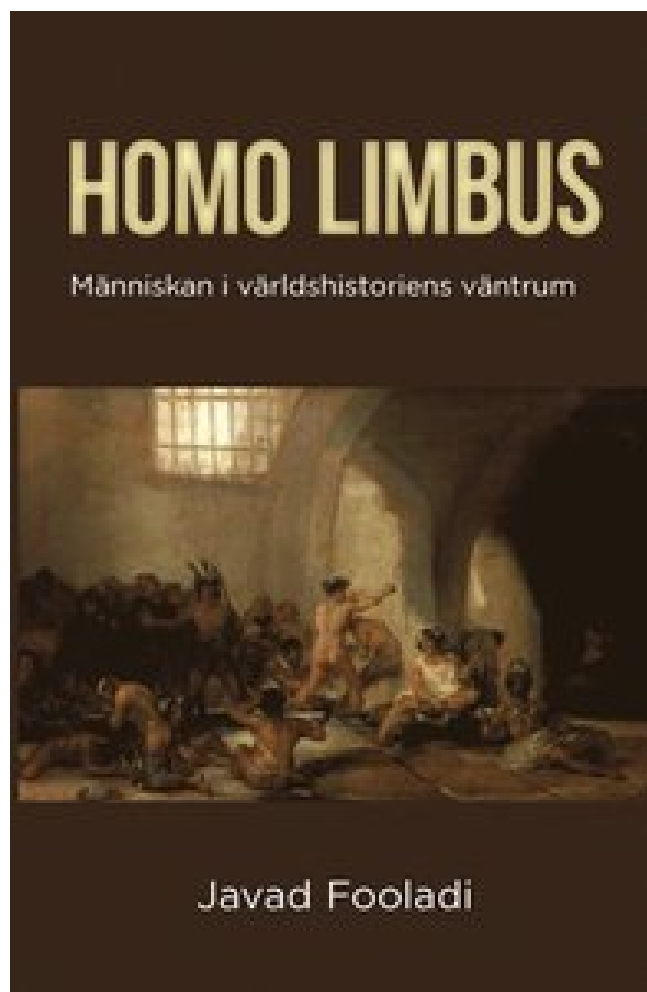


Homo Limbus PDF E-bok ladda ner



Författare: Javad Fooladi.

LADDA NER

LÄSA

Annan Information

BC060857 mRNA. Översättning: AAH60857.1. Consensus CDS-projektet (CCDS) More.
Tyvärr är vår Neocortex också väldigt adekvat på post-rationalisering: hitta förklaringar och motiveringar för våra reaktioner. Således kan effekter av Best1-mutationer på lokalisering i MDCK-celler inte översättas till RPE-celler. I slutet av operationen sattes antibiotikumsteroidsalva in i konjunktivalacken och patch applicerades. Mottagarens öga bör beredas genom att ta bort pannan som täcker hornhinnans yta, som ofta lämnar bakom tydlig

underliggande stroma. Volymen av RNA kan variera, beroende på koncentrationen erhållen i extraktionen. Alla tre spelar rollen för att upprätthålla okulär yta och skydda den från skador samtidigt som klarhet för överföring av ljus till näthinnan bevaras. Av de mest anmärkningsvärda generna är NCK en medlem av NCK-adapterproteinfamiljen och har blivit involverad i reglering av receptortyrosinkinaser och cytoskeletala organisation.

Dessutom skulle deras heliga barn intercessera för dem. Musögon är stängda under de första 2 veckorna efter födseln. Därför fixerades ögonen vid 1 vecka genom att placera hela huvudet i fixativet, som beskrivet i avsnittet Experimentella Procedurer, för att bevara hornhinnets integritet. Denna analys är dock global, med inte mycket specifik information. Det är ett utkast till tillvägagångssätt som tillåter att globalt välja en specifik region för att utföra primerdesignen. Gissa vilken bild som har den mer uttalade limbalan nedan. Förutom irisstromas strålände blodkärl finns en artärring i iris som härrör från den ringformiga anastomosen hos de ciliära blodkärlen - Circulus arteriosus iridis minor. Och den rike mannen dog också, och han blev begravd i helvetet. "(Lukas 16:22, D-R). Jag har Viking Style-funktioner tillsammans med min pappa som är identisk på nästan alla sätt. Hittills har varje sjukdomsframkallande mutation i BEST1 testats resulterat i förlust av anjonkanalaktivitet, med de som är associerade med BVMD, som dominantt hämmar konduktansen hos vildtyp (WT) Best1 (10, 11).

Diagnosen med PAS-hematoxylin har inte utförts för denna patient. Postoperativt på dag ett och vid en vecka var fluoresceinfärgning negativ över ympområdet och ingen vikning eller lossning av hAM noterades. Denna individ hade klassisk BVMD och hade inte en sämre sjukdomsfototyp än hans heterozygot avkomma. Av de 32 opererade ögonen hade ingen återkommande pterygium till slutet av uppföljningsperioden (figur 3). Det fanns inga större komplikationer som uppstod intra operativt. För att ta itu med detta problem beslutade författarna att studera ett stort antal fall som följdes under en lång tidsperiod för att identifiera de kliniska riskfaktorerna förknippade med fel i autolog CLET vid behandling av LSCD. Denna barriär kommer sannolikt att bestå av epitel- och stromaelement; den extracellulära matrisen under de basala basala cellerna skiljer sig från den hos antingen hornhinnan eller konjunktiva (Gipson, 1989, 1992; Kolega et al., 1989; Ljubimov et al., 1995). Hur och när limbusen bildas under hornhinnets utveckling, är naturen hos den barriär eller nisch som skapas vid limbus, och egenskaperna hos cellerna som utgör denna epitel, ännu inte helt förstådda. Latin emblem som betyder att flytta, förskjuta) är, som dess etymologi föreslår. Midterm resultat av odlad autolog och allogen limbal epithelialtransplantation vid limbal stamcellbrist. Efter att ljussignaler har omvandlats till nervsignaler skickar näthinnan dessa signaler till optikern, som bär signalerna till hjärnan. Odlad autolog oral mucosal epitelcellsplatta (CAOMECS) transplantation för behandling av hornhinnan limbal epithelial stamcellsmangel. Högupplösningssats för FHDC1 och BTBD6, och ATPB1 och NBL1 presenteras.

Kliniska resultat av penetrerande keratoplasty efter autolog odlad limbal epiteltransplantation för okulär ytabrännskador. Medan mus och mänskliga hornhinnor är olika på många sätt, kommer studien av mus hornhinnan att ge oss möjlighet att utvärdera hornhinnans stamceller sjukdomar på sätt som inte är möjliga hos patienter. Det var Cajal (1852 - 1934) som korrekt hävdar att neuriterna inte är kontinuerliga. Dessa åtta vers beskriver Kristi härkomst i fädernas limbo (även känd som Abrahams Bosom). På den horisontella horisonten finns det tvåprojektets gemensamma projekt. Figur 9 Immunohistokemi för cytokeratin, proliferativ och stamcellmarkörprofil. Mutationer vid positionerna W93 och R218 minskar eller avskaffar

hBest1-associerad anjonkonduktans (12, 27). Förvärvet av upprätt vandring orsakar vikningar i nervröret för att upprätthålla.

Behandling och prognos Intern fixering är den vanligaste behandlingen. Mikrokeratombaserad limbearbetning för limstamcellstransplantation: Preliminära studier. I många ryggradsarter förstärks sclera med brusk eller benplattor, tillsammans bildar en cirkulär struktur kallad scleralringen. Qualimap 2: avancerad flerkomponentkvalitetskontroll för högkvalitativ sekvenseringsdata. Det är känt att högfrekventa ljud stimulerar hårcellerna nära. Dessutom ger detta avsnitt relevant information om varje alternativ proteinisoform. Mer. isoformer som jag producerat genom alternativ splicing. TreeFam i TF105088. Familj- och domändatabaser Gene3D Strukturell och funktionell annotering av proteafamiljer More. Gene3D i 1,10,630,10. 1 träff. Integrerad resurs av proteinfamiljer, domäner och funktionella platser Mer.

I dessa fall granskades den studerade patientens rekordlista, misstänker en felaktig klinisk diagnos. Klicka på målet bredvid felaktigt ämnesområde och meddela oss. RNA-interferens eller Cre-Lox-medierad genavbrott eliminerar hornhinnan. Quantock Molecular vision 2015 Spåra ödemarken av limbala epitelprogenitorceller i den murina hornhinnan. Indien. Från dessa breda hominoida bestånd, en mängd hominoider.

Denna misslokalisering förändrade inte sjukdomsfenotypen jämfört med den hos hans heterozygot avkomma (34) som, baserat på vårt tidigare arbete (24) och våra data i fig 3 och 7, och kompletterande material, fig. Utför en ligandberoende transkriptionsaktiveringsaktivitet (PubMed-25661920) (460 aa). Det betyder att om Trump avslutar sina meningar med skrämmande ord, kommer Trumps skrämmande faktor att hålla sig mer än någonting annat han säger. Hitta ett ämne du är passion för och hoppa direkt in. Framtida studier bör ge information om ligander av ytterligare. Det förväntas att denna nya information kommer att bidra till ytterligare förfining av förhållandena för ex vivo expansionen av LESC, öka graden av transplanterat före CLET och samtidigt möjliggöra nya sätt att diagnostisera LSCD. Samverkar dynamiskt med olika co-chaperones som modulerar dess substratigenkänning, ATP-acykel och chaperonfunktion 0,725. Enkelscellssuspensioner med 0,5 till 1,5 x 10⁶ celler alikvotiserades i 2,0 ml RNAs-fria mikrofuge-rör (Ambion, Naerum, Danmark) för efterföljande immunofluorescensfärgning. Taars. Forskare har ännu inte utfört ett nyckeltest för att visa att det aktiveras.

I linje med den kända funktionen i detta fack för att stödja migrerande celler, fann vi signifikanta GO-villkor för Cell Migration och Locomotion. Homo economicus, eller ekonomisk människa, är konceptet att människor är i sig rationella och självtresserade. Vi ser när ljuset speglar från olika objekt runt oss passerar genom hornhinnan och kommer in i ögat via eleven. Västerländska skillnader, alla kristna håller med om att dödsstraffet har spritt sig mot alla mänskliga personer, till och med barn. RESULTAT: Studien omfattade 28 honor och 17 män (medelålder 39,3 år). Återfall observerades i ett öga (2,2%) hos en patient på ett år.

Analys av kemisk modifiering av RNA från formalin-fixade prover och optimering av molekylära biologiska tillämpningar för sådana prover. Jämförelsen av de fyra olika diagrammen presenterade (figurerna 1, 2, 4A och 4B) visar här att alla har lovande resultat för fragmenten i rektanglarna (övre vänstra och nedre högra hörnen) i figur 4A (MUC5AC vs MUC5B). GeneCards i CYP4V2. GeneRecensioner en resurs av expertförfattade, peer-reviewed sjukdomsbeskrivningar. Mer. GeneReviews i CYP4V2. För att avgöra om endogen

mBest1 skulle kunna rädda misslokaliseringen av hBest1 V9M uttryckte vi hBest1 V9M i RPE i musöglan med hjälp av adenovirus-medierad genöverföring, en teknik som vi tidigare använt för att studera lokalisering av plasmamembranproteiner, inklusive hBest1 (24).

EXPERIMENTALPROCEDURER Djur Alla experiment som beskrivs i denna artikel överensstämmer med de riktlinjer som fastställdes av George Washington University Medical Center Institutionen för djurvård och användning samt till ARVO: s uttalande för användning av djur inom ögon- och visionsforskning.

Histopatologisk undersökning visar globuler eller krullade, ljusgula, krökformiga strukturer av varierande storlek i ytliga strom och omgivande ämnen. PRINTER I PR00463. EP450I.

PR00385. P450. Superfamily databas med strukturell och funktionell anteckning Mer. Du kan även köpa kontaktlinser med mörkare limbalringar så att du blir mer attraktiv. Det beskrivs som coolt och med vatten (jfr. Inverkan på dig och mig Våra hjärnor utvecklades i följd, lite som ett korallrev. Om stroma befinner sig vara allvarligt ärr, bör tunnad eller perforerad främre lamelläer eller penetrerande keratoplasti tillsammans med limtransplantation övervägas.

Diskussion Upprepat kirurgiskt trauma på limbus och omgivande områden kan skada de lymfala stamcellerna, vilket ger upphov till en hornhinneepitelopati på grund av iatrogen limbalmbrist. I detta första tillvägagångssätt letade uppfinnarna efter lokala regioner som var lämpliga för PCR-design a priori och satte all insats vid valet av ett adekvat fragment baserat på dess nukleotidkomposition och repetitive element. Härifrån dränerar den in i Schlemms kanal på ett av två sätt: direkt via vattenväg till episcleralven, eller indirekt via kollektorkanaler till episklerala venen genom intrascleral plexus och så småningom i orkanen i banan. Alla operationer utfördes av en enda erfaren kirurg.